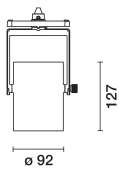


Ultimo aggiornamento delle informazioni: Febbraio 2025

Configurazione di prodotto: RF73.01

RF73.01: Tecnica Evo sospensione - corpo Ø92 - DALI - 27.5W 2961lm - 3000K - CRI 90 - Bianco



Codice prodotto

RF73.01: Tecnica Evo sospensione - corpo Ø92 - DALI - 27.5W 2961lm - 3000K - CRI 90 - Bianco

Descrizione tecnica

Apparecchio a sospensione dotato di adattatore per installazione su binario elettrificato DALI. Sorgente LED ad elevato indice di resa cromatica. Corpo illuminante in alluminio pressofuso. Sistema ottico con riflettore realizzato in alluminio antigraffio ad alte prestazioni P.V.D. (Physical Vapour Deposition) in grado di esprimere un ottimo rapporto di efficienza luminosa. Impianto di sospensione a bilanciamento con doppio cavo in acciaio e sistema di regolazione. Dotazione di blocchi meccanici del puntamento; i movimenti di rotazione ed inclinazione possono essere bloccati per garantire il puntamento preciso dell'emissione luminosa anche ad installazione avvenuta e durante le fasi di manutenzione. Unità di alimentazione dimmerabile DALI integrata. Predisposizione per alloggiamento degli accessori ottici comuni alla gamma Tecnica Evo. La disponibilità di riflettori intercambiabili accessori permette la variazione dell'angolo di emissione secondo necessità anche successive all'installazione originale.

Installazione

Installazione su binario elettrificato.

Colore

Bianco (01)

Peso (Kg)

1.46

Montaggio

binario dali

Cablaggio

Alimentazione dimmerabile DALI integrata.

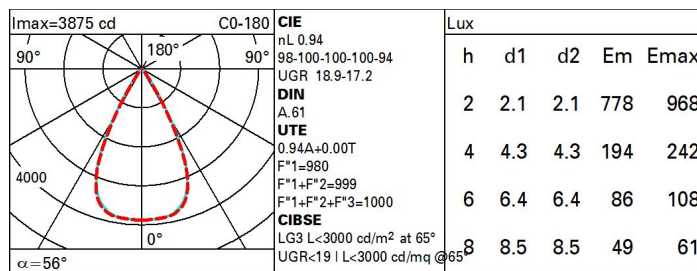
Soddisfa EN60598-1 e relative note



Dati tecnici

| | | | |
|--|-------|------------------------------------|---------------------------------|
| Im di sistema: | 2961 | CRI (minimo): | 90 |
| W di sistema: | 27.5 | Temperatura colore [K]: | 3000 |
| Im di sorgente: | 3150 | MacAdam Step: | 2 |
| W di sorgente: | 24 | Life Time LED 1: | > 50,000h - L90 - B10 (Ta 25°C) |
| Efficienza luminosa (lm/W, dati di sistema): | 107.7 | Codice lampada: | LED |
| Im in modalità emergenza: | - | Numero di lampade per vano ottico: | 1 |
| Flusso totale emesso a 90° o superiore [Lm]: | 0 | Codice ZVEI: | LED |
| Light Output Ratio (L.O.R.) [%]: | 94 | Numero di vani ottici: | 1 |
| Angolo di apertura [°]: | 56° | Control: | DALI-2 |

Polare



Coefficienti di utilizzazione

| R | 77 | 75 | 73 | 71 | 55 | 53 | 33 | 00 | DRR |
|------|-----|-----|----|----|----|----|----|----|-----|
| K0.8 | 84 | 80 | 76 | 74 | 79 | 76 | 75 | 72 | 77 |
| 1.0 | 88 | 84 | 81 | 79 | 83 | 80 | 80 | 77 | 82 |
| 1.5 | 93 | 89 | 87 | 85 | 88 | 86 | 85 | 83 | 88 |
| 2.0 | 95 | 93 | 91 | 90 | 92 | 90 | 89 | 87 | 92 |
| 2.5 | 97 | 96 | 94 | 93 | 94 | 93 | 92 | 89 | 95 |
| 3.0 | 99 | 97 | 96 | 95 | 96 | 95 | 94 | 91 | 97 |
| 4.0 | 100 | 99 | 98 | 97 | 97 | 97 | 95 | 93 | 99 |
| 5.0 | 100 | 100 | 99 | 99 | 98 | 98 | 96 | 94 | 100 |

Curva limite di luminanza

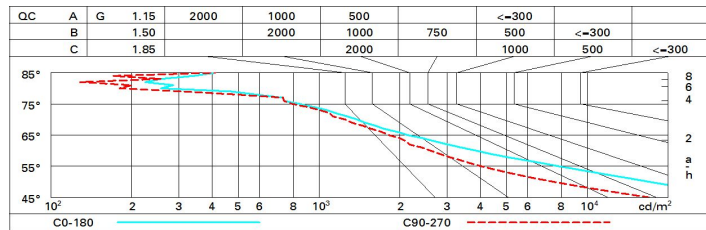


Diagramma UGR

| Corrected UGR values (at 3150 lm bare lamp luminous flux) | | | | | | | | | | | |
|---|------|------------------|------|------|------|------|----------------|------|------|------|------|
| Reflect.: | | viewed crosswise | | | | | viewed endwise | | | | |
| ceil/cav | | 0.70 | 0.70 | 0.50 | 0.50 | 0.30 | 0.70 | 0.70 | 0.50 | 0.50 | 0.30 |
| walls | | 0.50 | 0.30 | 0.50 | 0.30 | 0.30 | 0.50 | 0.30 | 0.50 | 0.30 | 0.30 |
| work pl. | | 0.20 | 0.20 | 0.20 | 0.20 | 0.20 | 0.20 | 0.20 | 0.20 | 0.20 | 0.20 |
| Room dim | | viewed crosswise | | | | | viewed endwise | | | | |
| x | y | | | | | | | | | | |
| 2H | 2H | 19.5 | 20.1 | 19.7 | 20.3 | 20.5 | 17.7 | 18.3 | 18.0 | 18.5 | 18.8 |
| | 3H | 19.3 | 19.9 | 19.6 | 20.1 | 20.4 | 17.6 | 18.1 | 17.9 | 18.4 | 18.7 |
| | 4H | 19.3 | 19.8 | 19.6 | 20.1 | 20.4 | 17.5 | 18.0 | 17.9 | 18.3 | 18.6 |
| | 6H | 19.2 | 19.6 | 19.5 | 20.0 | 20.3 | 17.4 | 17.9 | 17.8 | 18.2 | 18.5 |
| | 8H | 19.2 | 19.6 | 19.5 | 19.9 | 20.3 | 17.4 | 17.9 | 17.8 | 18.2 | 18.5 |
| 12H | 19.1 | 19.5 | 19.5 | 19.9 | 20.2 | 17.4 | 17.8 | 17.7 | 18.1 | 18.5 | |
| 4H | 2H | 19.3 | 19.8 | 19.6 | 20.1 | 20.3 | 17.5 | 18.0 | 17.9 | 18.3 | 18.6 |
| | 3H | 19.1 | 19.5 | 19.5 | 19.9 | 20.2 | 17.4 | 17.8 | 17.8 | 18.1 | 18.5 |
| | 4H | 19.0 | 19.4 | 19.4 | 19.8 | 20.1 | 17.3 | 17.7 | 17.7 | 18.0 | 18.4 |
| | 6H | 18.9 | 19.3 | 19.4 | 19.7 | 20.1 | 17.2 | 17.5 | 17.6 | 17.9 | 18.3 |
| | 8H | 18.9 | 19.2 | 19.3 | 19.6 | 20.0 | 17.2 | 17.5 | 17.6 | 17.9 | 18.3 |
| 12H | 18.8 | 19.1 | 19.3 | 19.5 | 20.0 | 17.1 | 17.4 | 17.6 | 17.8 | 18.3 | |
| 8H | 4H | 18.9 | 19.2 | 19.3 | 19.6 | 20.0 | 17.2 | 17.5 | 17.6 | 17.9 | 18.3 |
| | 6H | 18.8 | 19.0 | 19.3 | 19.5 | 20.0 | 17.1 | 17.3 | 17.5 | 17.8 | 18.2 |
| | 8H | 18.7 | 19.0 | 19.2 | 19.4 | 19.9 | 17.0 | 17.2 | 17.5 | 17.7 | 18.2 |
| | 12H | 18.7 | 18.9 | 19.2 | 19.4 | 19.9 | 17.0 | 17.1 | 17.5 | 17.6 | 18.1 |
| 12H | 4H | 18.8 | 19.1 | 19.3 | 19.5 | 20.0 | 17.1 | 17.4 | 17.6 | 17.8 | 18.3 |
| | 6H | 18.7 | 19.0 | 19.2 | 19.4 | 19.9 | 17.0 | 17.2 | 17.5 | 17.7 | 18.2 |
| | 8H | 18.7 | 18.9 | 19.2 | 19.4 | 19.9 | 17.0 | 17.1 | 17.5 | 17.6 | 18.1 |
| Variations with the observer position at spacing: | | | | | | | | | | | |
| S = | 1.0H | 5.6 / -12.7 | | | | | 5.8 / -14.2 | | | | |
| | 1.5H | 8.4 / -17.1 | | | | | 8.6 / -16.7 | | | | |
| | 2.0H | 10.4 / -19.3 | | | | | 10.6 / -18.3 | | | | |